



Ряд Лапласа тел эллипсоидальной структуры и уровенного эллипсоида

К. В. Холшевников, Д. В. Миланов, В. Ш. Шайдулин
СПбГУ, ИПА РАН

Коуровка, январь 2018

Эллипсоидальные фигуры

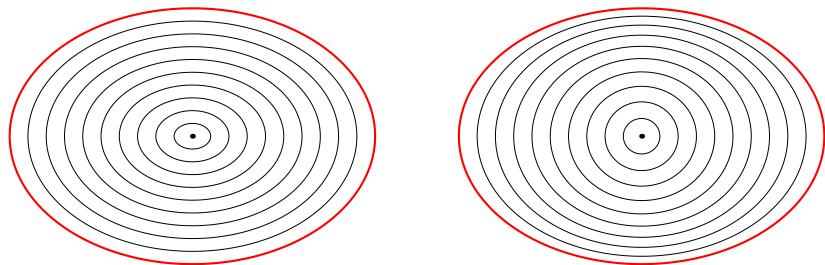
Сплошной эллипсоид $T \in \mathbb{R}^3$ расслаивается на семейство эллипсоидов вращения $\{S(u)\}$

$$\frac{x^2 + y^2}{u^2} + \frac{z^2}{\varphi^2(u)} = a^2.$$

Эллипсоидальные фигуры

- ▶ Поверхности семейства $\{S(u)\}$ не пересекаются и вложены друг в друга.
- ▶ Семейство $\{S(u)\}$ стягивается к точке $S(0)$, общему центру эллипсоидов $S(u)$.
- ▶ Эллипсоиды $S(u)$ сжаты, причем сжатие $(u - \varphi)/u$, а тем самым и квадрат первого эксцентриситета $\varphi_1(u) = (u^2 - \varphi^2)/u^2$ и квадрат второго эксцентриситета $\varphi_2(u) = (u^2 - \varphi^2)/\varphi^2$ меридионального сечения эллипсоида возрастают (хотя бы нестрого) вместе с u .
- ▶ Наружный эллипсоид $S = S(1)$ не является сферой, так что с учетом первого условия его сжатие α и эксцентриситет ε заключены строго между нулем и единицей.

Эллипсоидальные фигуры



$$\varepsilon = \frac{1}{\sqrt{2}} = 0.7071$$

$$\alpha = 1 - \frac{1}{\sqrt{2}} = 0.2929$$

Ряд Лапласа эллипсоида

$$V(Q) = \sum_{n=0}^{\infty} I_n \left(\frac{a}{r} \right)^{n+1} P_n \left(\frac{z}{r} \right). \quad (*)$$

В частности, на положительной части оси z в точке $Q_0(0, 0, r)$

$$V(Q_0) = \sum_{n=0}^{\infty} I_n \left(\frac{a}{r} \right)^{n+1}.$$

Коэффициенты Стокса (гармонические коэффициенты) I_n определяются интегралами по телу T :

$$I_n = \frac{1}{Ma^n} \iiint_T r^n P_n \left(\frac{z}{r} \right) \varrho d\tau, \quad M = \iiint_T \varrho d\tau,$$

Ряд Лапласа эллипсоида

$$I_n = (-1)^{n/2} J_n, \quad J_n = \frac{1}{\bar{\rho}} \int_0^1 \rho(u) \Phi_n(u) du, \quad n \equiv 2 \pmod{2}.$$

$$0 < J_n < \frac{B \varepsilon^n}{n(n+1)}, \quad B = \frac{3\rho^*}{\bar{\rho}}.$$

$$J_n \sim \frac{B_1 \varepsilon^n}{n^\sigma}, \quad \sigma = 2, \quad B_1 = \frac{3\rho(1)}{\bar{\rho}}.$$

$\bar{\rho}$ — средняя плотность, ρ^* — наибольшая плотность, ε — эксцентриситет меридионального сечения наружного эллипсоида \mathcal{S} , Φ — некоторая положительная функция от u .

Ряд Лапласа эллипсоида

Ряд Лапласа сходится абсолютно и равномерно вне и на поверхности сферы S_0 и расходится внутри нее. Сфера S_0 задается уравнением

$$r = a\varepsilon. \quad (1)$$

При малых ε ряд (*) представляет потенциал во всем внешнем пространстве, а при больших ряд расходится в части внешнего пространства в окрестности полюсов. Критическое значение эксцентриситета равно $c/a = \varepsilon = 1/\sqrt{2}$.

Уровенный эллипсоид

Уровенный эллипсоид определяется 4 параметрами:
 M, a, ϵ, ω (масса, большая полуось, эксцентриситет, угловая скорость вращения)

Вместо ω Клеро предложил безразмерный параметр

$$q = \frac{3\omega^2}{4\pi G \bar{\rho}} = \frac{\omega^2 a^3 \sqrt{1 - \epsilon^2}}{GM}.$$

Ряд Лапласа уровенного эллипсоида

Условие уровенности однозначно определяет гравитационный потенциал вне и на эллипсоиде (единственность решения внешней задачи Дирихле)

$$I_n = (-1)^{n/2} J_n, \quad J_n = \frac{n(A_1 - 2A_2) + 3A_1}{(n+1)(n+3)} \varepsilon^{n+1},$$

$$A_1 = \frac{1}{\varepsilon}, \quad A_2 = \frac{q}{3\Psi(\varepsilon)},$$

$$\begin{aligned} \Psi(\varepsilon) &= \left(\frac{3}{\varepsilon^2} - 2 \right) \sqrt{1 - \varepsilon^2} \arcsin \varepsilon - \frac{3}{\varepsilon} (1 - \varepsilon^2) = \\ &= 2 \sum_{k=0}^{\infty} \frac{(2-k)(2k)!!}{(2k+5)!!} \varepsilon^{2k+3} = \frac{4}{15} \varepsilon^3 \left(1 + \frac{1}{7} \varepsilon^2 - \frac{8}{231} \varepsilon^6 - \dots \right). \end{aligned}$$

Свойства коэффициентов Стокса

Случай $A_1 = 2A_2$:

$$q = q^* := \frac{3\Psi(\varepsilon)}{2\varepsilon} =$$
$$= 3 \sum_{k=0}^{\infty} \frac{(2-k)(2k)!!}{(2k+5)!!} \varepsilon^{2k+2} = \frac{2}{5} \varepsilon^2 \left(1 + \frac{1}{7} \varepsilon^2 - \frac{8}{231} \varepsilon^6 - \dots \right),$$
$$J_n = \frac{3}{(n+1)(n+3)} \varepsilon^n.$$

Мы пришли к однородному равновесному эллипсоиду
Маклорена.

Свойства коэффициентов Стокса

Случай $A_1 \neq 2A_2$:

$$J_n \sim \frac{B_2}{n^\sigma} \varepsilon^n, \quad \sigma = 1, \quad B_2(\varepsilon) = (A_1 - 2A_2)\varepsilon = 1 - \frac{2q\varepsilon}{3\Psi(\varepsilon)}.$$

$$B_2(\varepsilon) = 1 - \frac{5q}{2\varepsilon^2} \left(1 - \frac{1}{7}\varepsilon^2 + \frac{1}{49}\varepsilon^4 + \frac{359}{11319}\varepsilon^6 \dots \right), \quad |\varepsilon| < 1.$$

Два примера

1. Земля. Для Земли $\alpha = 0.00335$, $\varepsilon = 0.0818$, $q = 0.00345$, $q^* = 0.00268$.
2. Сатурн. Заметим, что в Солнечной системе среди больших планет, их регулярных спутников и самого Солнца наибольшим сжатием обладает Сатурн: $\alpha = 0.0980$, $\varepsilon = 0.432$, $q = 0.140$, $q^* = 0.0765$.

Для обеих планет q^* значительно меньше q , что свидетельствует о быстром убывании плотности от центра.

Третий пример

3. Пульсар PSR B0531+21 в Крабовидной туманности:
 $\omega = 188\text{c}^{-1}$. При $a = 12$ км и массе, равной 1.4 солнечной
(Потехин 2010)

$$\frac{q}{\sqrt{1 - \epsilon^2}} = 3.3 \cdot 10^{-4}.$$

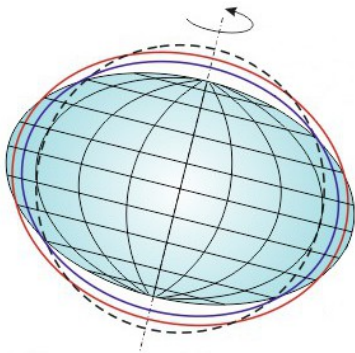
Если принять $q = q^*$, то придем к

$$q = 0.00033, \quad \epsilon = 0.029, \quad \alpha = 0.00042.$$

При большей массе и $q > q^*$ сжатие будет еще меньше.

Вывод: почти весь угловой момент унесла выброшенная при взрыве сверхновой материя.

Вывод остается в силе и при учете потери угловой скорости за 1000 лет за счет переработки энергии вращения в излучение.



Спасибо!